



## ARTYKUŁY NAUKOWE

### Planowane wiercenie badawcze w Karkonoszach dla potrzeb modelowania termicznego systemów gorących suchych skał (HDR)

Wiesław Bujakowski<sup>1</sup>, Antoni Przemysław Barbacki<sup>1</sup>, Robert Skrzypczak<sup>1</sup>, Aleksandra Kasztelewicz<sup>1</sup>



W. Bujakowski



A.P. Barbacki



R. Skrzypczak



A. Kasztelewicz

**Exploratory drilling planned for modelling of hot dry rock (HDR) geothermal systems in the Karkonosze Mts.** *Prz. Geol.*, 60: 199–205.

*A b s t r a c t. Looking in Poland for geological structures suitable for hot dry rock technology (HDR – Hot Dry Rock), we propose a new integrated method for selection of geological, petrographic, petrological, geophysical and hydrogeological data in order to discriminate between suitable geological objects. This approach allows identification of the most promising regional geological*

*units in Poland: the Sudetes Mt. and the Fore-Sudetic block. The most prospective local geological units in those areas are granitoid massifs, in particular the Karkonosze granite pluton. The abandoned Michałowice granite quarry, located within the Karkonosze pluton, is proposed as a potential drilling site that best meet the requirements for a thermal modelling study.*

**Keywords:** hot dry rock technology, crystalline basement units of Poland, Sudetic granitoids, exploratory drilling, thermal wells in Cieplice Śląskie-Zdrój

Zamknięte systemy geotermiczne, tj. kumulujące ciepło w skałach słabo spękanych i izolowanych od krażenia wód podziemnych, umożliwiające jego odzysk w celu produkcji energii elektrycznej, to technologia gorących suchych skał (HDR – Hot Dry Rock; Górecki 2006). Ze względów ekonomicznych duże znaczenie ma możliwe płytkie zaleganie takich struktur geologicznych. W tym kontekście istotne wydają się masywy zbudowane ze skał krystalicznych, o relatywnie dużych rozmiarach, odsłaniające się na powierzchni i nie podlegające zbyt rygorystycznej ochronie (np. przyrodniczej).

Większe masywy skał krystalicznych odsłaniają się w naszym kraju na powierzchni lub zalegają płytko pod pokrywą osadową w Sudetach, na Przedgórzu Sudeckim oraz w Tatrach. W obu tych obszarach utwory krystaliczne charakteryzuje różnorodność typów petrograficznych skał w obrębie zwartych kompleksów. W Sudetach, w odróżnieniu od Tatr, stopień uciążliwości dla środowiska przyrodniczego potencjalnej przyszłej instalacji stosującej technologię HDR byłby niewielki. Na Przedgórzu Sudeckim takiego konfliktu nie dostrzega się, co skłania do zwrócenia szczególnej uwagi właśnie na Sudety i ich Przedgórze.

Wybór optymalnej jednostki geologicznej, przydatnej dla technologii HDR, musi uwzględnić dane o obecnej pozycji przestrzennej jednostki, jej historii geologicznej (zwłaszcza termicznej) oraz niektóre dane petrograficzne i petrologiczne, a szczególnie informacje o generowanym ciepłe radiogenicznym czy występowaniu wód termal-

nich. Wybór jednostki geologicznej i miejsca lokalizacji badań wstępnych do uzyskania danych potrzebnych dla modelowania termicznego dokonano drogą analizy dostępnych informacji i stopniowego (etapowego) eliminowania obszarów mniej korzystnych.

### SKAŁY KRYSZTAŁICZNE POD UTWORAMI OSADOWYMI

W przypadku kompleksów krystalicznych występujących w Polsce pod nadkładem skał osadowych potencjalnych struktur geologicznych przydatnych dla technologii HDR można oczekwać na dość dużych głębokościach. Wysoką produkcję ciepła radiogenicznego – rokującą uzasadnione nadzieję na występowanie takich struktur – stwierdzono w (Mazur & Jarosiński, 2004) :

- litosferze typu TESZ (od SW granicy strefy Teisseyre'a-Tornquista do strefy tektonicznej Dolska),
- litosferze typu PP (od strefy tektonicznej Dolska do uskoku środkowej Odry).

Na pograniczu litosfery typu TESZ i PP, w elewacji utworów krystalicznych (gnejsów, amfibolitów oraz granitów, a w części stropowej – utworów niskometamorficznych), temperatury około 200°C należy się spodziewać dopiero 6 km p.p.t., a np. 400°C na głębokości około 15 km p.p.t. (Jarosiński & Dąbrowski, 2004). W najgłębszej części tej elewacji – wzdłuż orientacyjnej linii Międzyrzec–Leszno – wskazane izotermy mogą występować nieco płyiej. Dla porównania: w obrębie kompleksu skał krystalicznych

<sup>1</sup>Instytut Gospodarki Surowcami Mineralnymi i Energią Polskiej Akademii Nauk, ul. Wybickiego 7, 31-261 Kraków; buwi@meeri.pl, barbacki@meeri.pl, robskrzy@min-pan.krakow.pl, kasztelewicz@min-pan.krakow.pl.

**Tab. 1.** Granity i granitoidy masywów sudeckich: strzelińskiego, Źulowej, Niemczy, kłodzko-złotostockiego i Kudowej  
**Table 1.** Granites and granitoid plutons of the Sudetes: Strzelin, Źulowa, Niemcza, Kłodzko-Złoty Stok and Kudowa

Miejscowość <i>Location</i>	Typ petrograficzny <i>Petrographic Type</i>	Ciężar właś. <i>Specific weight</i> [G/cm <sup>3</sup> ]	Ciężar objęt. <i>Volumetric weight</i> [G/cm <sup>3</sup> ]	Porowatość <i>Porosity</i> [%]	Zawartość <i>Concentration</i> (M. Plewa, 1988)			Ciepło radiog. <i>Radio-genic heat</i> (S. Plewa, 1994) [μW/m <sup>3</sup> ]					
					U [ppm]	Th [ppm]	<sup>40</sup> K [%]						
<b>MASYW STRZELIŃSKI STRZELIN MASSIF</b>													
(Kulikowski & Mikulski, 1968; Dienemann & Burre, 1929; Kłeczek, 1963; Teisseyre i in., 1957; Morawski, 1979)													
Strzelin łom główny <i>main quarry</i>	granity: strzeliński drobno- i średnioziarnisty, typu Białego Kościoła <i>granites: strzelinski fine and medium grained, Bialy Kościół type</i>	2,65–2,7	2,59–2,68	0,75–2,6									
Mikoszów (Strzelin)	granity: strzeliński drobno- i średnioziarnisty <i>granites: strzelinski fine and medium grained</i>	2,64–2,68	2,58–2,65	1,2–3,1									
Górka Sobocka	granity typu Białego Kościoła <i>granites type: Bialy Kościół</i>	2,64–2,68	2,6–2,61	1,6									
Strzegów	granity typu Białego Kościoła <i>granites type: Bialy Kościół</i>	2,65	2,58	2,83									
Gęsiniec	granity typu Białego Kościoła <i>granites type: Bialy Kościół</i>	2,63–2,72	2,57–2,59	2,27									
Gościęcice	granit strzeliński drobnoziarnisty <i>Strzelin type granite grained</i>	2,66–2,68	2,6–2,62	1,5–2,98									
Gębczyce	granity typu Białego Kościoła <i>granites type: Bialy Kościół</i>	2,63–2,65	2,4–2,6	1,52–2,64									
Biały Kościół	granit strzeliński drobnoziarnisty <i>Strzelin type granite fine grained</i>	2,66–2,67	2,54–2,62	2,0–2,6									
<b>MASYW ŹULOWEJ ŽULOWA MASSIF</b>													
(Kulikowski & Mikulski, 1968; Dienemann & Burre, 1929)													
Maciejowice	granit strzeliński drobnoziarnisty <i>Strzelin type granite fine grained</i>	2,66–2,67	2,54–2,62	2,0–2,6									
Starowice	granit strzeliński drobnoziarnisty <i>Strzelin type granite fine grained</i>	2,62–2,66	2,52–2,61	2,27–3,82									
Kamienna Góra	granity typu Białego Kościoła <i>granites type: Bialy Kościół</i>	2,63–2,67	2,58–2,61	3,0									
Nadziejów	granit strzeliński drobnoziarnisty <i>Strzelin type granite fine grained</i>	2,65–2,66	2,58	3,0									
Jarnołtów	granity typu Białego Kościoła <i>granites type: Bialy Kościół</i>	2,67	2,56–2,6	2,7–4,1									
<b>GRANITOODY STREFY NIEMCZY NIEMCZA ZONE GRANITOIDS</b>													
(Kulikowski & Mikulski, 1968; Dziedzicowa, 1979)													
Karczowica	granodioryty średnioziarniste <i>medium grained granodiorites</i>	2,78	2,75	–									
Kośmin	granodioryty średnioziarniste <i>medium grained granodiorites</i>	2,86	2,76	–	6,6	17,9	3,89	3,41					
Niemcza	granodioryty średnioziarniste <i>medium grained granodiorites</i>	2,84	2,76	–									
Piekielnik	granodioryty średnioziarniste <i>medium grained granodiorites</i>	2,74	2,71	–									
Przerzeczn	granodioryty średnioziarniste <i>medium grained granodiorites</i>	2,78	2,74	–									
Brodziszów	sjenodioryty drobnoziarniste <i>fine grained syenodiorite</i>	2,91	2,87	–									
Pilawa Górska	sjenodioryty drobnoziarniste <i>fine grained syenodiorite</i>	2,88	2,86	–									
Przedborowa	sjenodioryty drobnoziarniste <i>fine grained syenodiorite</i>	2,8	2,78	–	1,1 2,4	5,6 9,4	5,10 2,50	1,13 1,61					
<b>MASYW KŁODZKO-ZŁOTOSTOCKI KŁODZKO-ZŁOTY STOK MASSIF</b>													
(Wojciechowska, 1979)													
Chwalisław	granitoidy <i>granitoids</i>	2,83–2,67	2,8–2,64	0,04–0,01									
Gajek -Zamczysko	granitoidy <i>granitoids</i>	2,87–2,73	2,83–2,71	0,05–0,01									

Laski	granitoidy <i>granitoids</i>	2,72	2,66	2,2				
Ożary	granitoidy <i>granitoids</i>	2,67–2,74	2,68–2,61	2,3				
Rogówka	granitoidy <i>granitoids</i>	2,8–2,72	2,74–2,66	0,01–0,03				
Kłodzko -Złoty Stok	granitoidy <i>granitoids</i>				4,2	19,3	3,59	2,72
MASYW KUDOWEJ <i>KUDOWA MASSIF</i>								
Kudowa	granit <i>granite</i>				3,9	16,9	4,40	2,56
Jerzykowice	granitoidy <i>granitoids</i>				4,2	11,5	4,22	2,21

platformy wschodnioeuropejskiej, na południe od Olsztyna, odpowiednie izotermy występują zdaniem w.w. autorów znacznie głębiej – 11 i 29 km p.p.t.

Wobec powyższego, dalsze analizy skoncentrowano na powierzchniowych masywach krystalicznych.

### SKAŁY KRYSTALICZNE NA POWIERZCHNI

W obszarze Polski skały krystaliczne odsłaniają się na powierzchni w Tatrach oraz w Sudetach i na Przedgórzu Sudeckim.

Polska część Tatr, a w niej wystąpienia skał krystalicznych, w całości objęta jest prawną ochroną jako Tatrzanski Park Narodowy. To jednocześnie Obszar Specjalnej Ochrony Ptaków (OSO) i Specjalny Obszar Ochrony Siedlisk (SOO) w ramach polskiej części systemu NATURA 2000.

W Sudetach i na ich Przedgórzu większość interesujących nas miejsc występowania skał krystalicznych, zwłaszcza skał magmowych, położona jest poza obszarami prawnej ochrony. W podobnie rygorystyczny sposób jak w Tatrach ochronie podlegają jedynie najwyższe położone partie plutonu Karkonoszy – w obrębie Karkonoskiego Parku Narodowego – powyżej miejscowości: Szklarska Poręba, Piechowice, Podgórzyn, Karpacz, Kowary. To równocześnie – jak w Tatrach – obszary OSO i SOO systemu NATURA 2000. Trzeba dodać, że obszary systemu NATURA sięgają daleko poza granice parku narodowego, lecz system ten jest bardziej liberalny niż w przypadku ochrony w obrębie parków narodowych. W przypadku plutonu Kudowy graniczny on od wschodu z Parkiem Narodowym Góra Stołowych (niemal cała powierzchnia Parku to także obszar SOO) i jednocześnie zawiera się w obszarze OSO.

Tak więc Sudety i ich Przedgórze stanowią w stosunku do regionu tatrzanskiego region bardziej atrakcyjny w kontekście typowania lokalizacji do badań wstępnych związanych z technologią HDR (a w przyszłości ewentualnej lokalizacji zakładu eksploatacyjnego). Jeśli wyniki badań w Sudetach i na Przedgórzu Sudeckim, dotyczące zastosowania technologii HDR, byłyby obiecujące, można jednocześnie rozważyć celowość rozpoznania podobnych struktur na terenie Tatr.

W Sudetach i na bloku przedsudeckim odsłaniają się skały metamorficzne i magmowe należące do waryscyjskiego piętra strukturalnego. Ze względu na potencjalne zasoby energii geotermicznej szczególnie interesujące są duże masywy granitowe umiejscowione u schyłku oroge-

nezy waryscyjskiej. Uznano, że do tych utworów należy zawieźć dalsze badania struktur przydatnych dla technologii HDR. W tabelach 1 i 2 zestawiono dane literaturowe o niektórych cechach fizycznych wybranych granitoidów sudeckich wraz z informacjami o produkcji ciepła radiogenicznego. W nawiązaniu do przedstawionych danych i uzyskanych informacji petrograficznych wskazano wstępную listę proponowanych miejsc planowanych badań w obrębie Sudetów i ich Przedgórza – eliminując inne:

- Michałowice (pluton Karkonoszy) – granity porfirowate (średnio- do gruboziarnistych);
- Czerwony Potok (pluton Karkonoszy) – granity porfirowate (średnio- do gruboziarnistych);
- Strzelin (masyw strzeliński) – granity normalne;
- Maciejowice, Kamienna Góra (masyw Żulowej) – granity, granity monzonitowe, granodioryty;
- Strzegom, Gola (masyw Strzegomia-Sobótka) – granodioryty i granity.

Na rycinach 1, 2 i 3 wskazano lokalizacje złóż granitów i niektórych granitoidów eksploatowanych w Sudetach i na ich Przedgórzu w przeszłości i obecnie, bądź przewidzianych do eksploatacji, oraz innych interesujących wystąpień granitoidów jako potencjalnych miejsc lokalizacji otworu badawczego dla uzyskania danych do wykonania modelu termicznego (zaznaczono lokalizacje wstępnie preferowane). Rycina 1 przedstawia strefy występowania granitów i granitoidów masywów: strzelińskiego, Żulowej, Niemczy, kłodzko-złotostockiego i Kudowej; rycina 2 – granitów i granitoidów masywu Strzegom-Sobótka; a rycina 3 – granitów plutonu Karkonoszy.

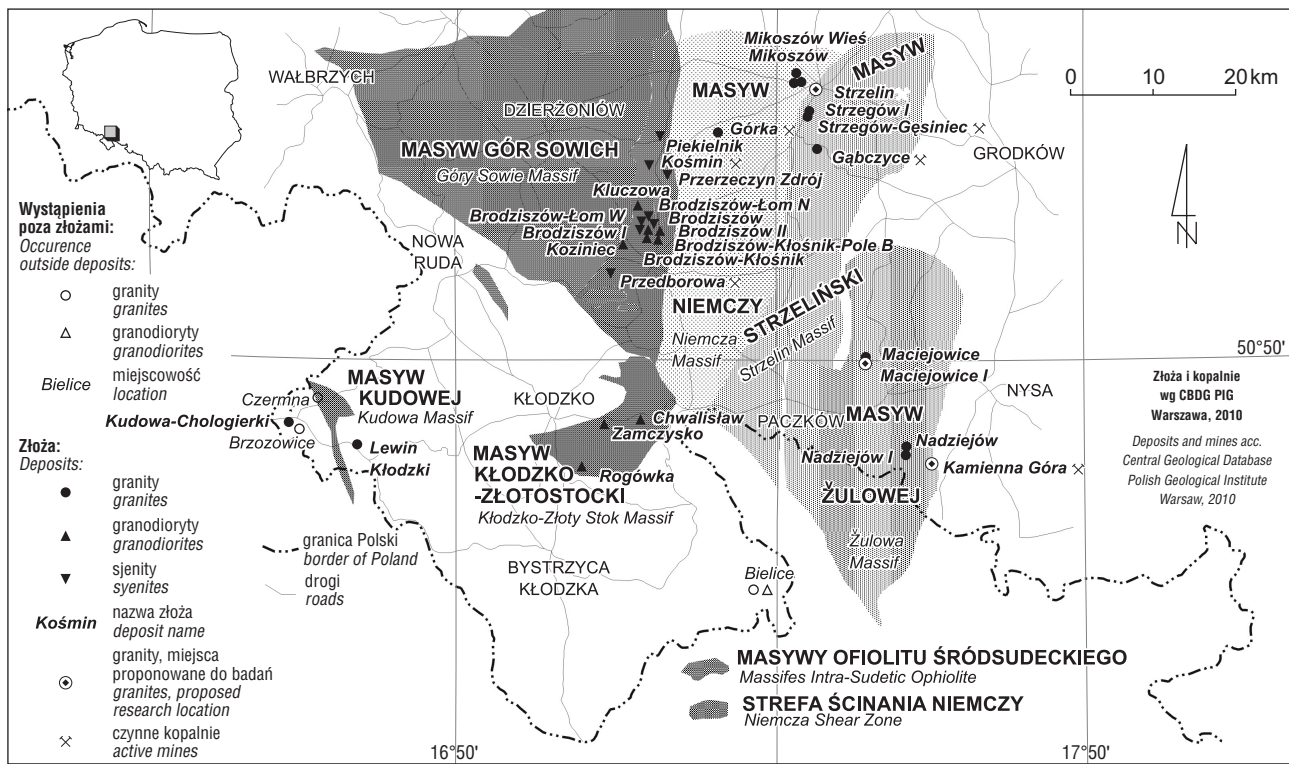
Uwagę skoncentrowano na waryscyjskim plutonie Karkonoszy, o największych rozmiarach w obrębie granic Polski i o notowanej tam wysokiej produkcji ciepła radiogenicznego. Dodatkową przesłanką, wskazującą na tę jednostkę, są informacje o termice plutonu związane z samowypływem wód termalnych w Cieplicach Śląskich-Zdroju oraz udokumentowaniem wód termalnych w dwóch głębokich otworach wiertniczych. W otworze Cieplice C-1 z 1971 r. (pogłębionym w 1997 r. do 2002,5 m) na głębokościach 1590–1602 m i 1840–1895 m występują strefy, w których temperatura wód przekracza 97,5°C. Obserwowano wyraźny związek tej temperatury z głębokością krażenia wód oraz z występowaniem stref zaburzeń tektonicznych – odpowiednio na głębokościach 1601–1800 m i 1826–1970 m (Dowgiałło, 1998). Woda na wypływie miała temperaturę 87,6°C (ustabilizowaną do 86,7°C), a na głębokości 1850–1855 m: 98,7°C (Fistek & Dowgiałło, 2003). Według tych

**Tab. 2.** Granitoidy masywu Strzegom-Sobótka i plutonu Karkonoszy  
**Table 2.** Granitoids of the Strzegom-Sobótka Massif and Karkonosze Pluton

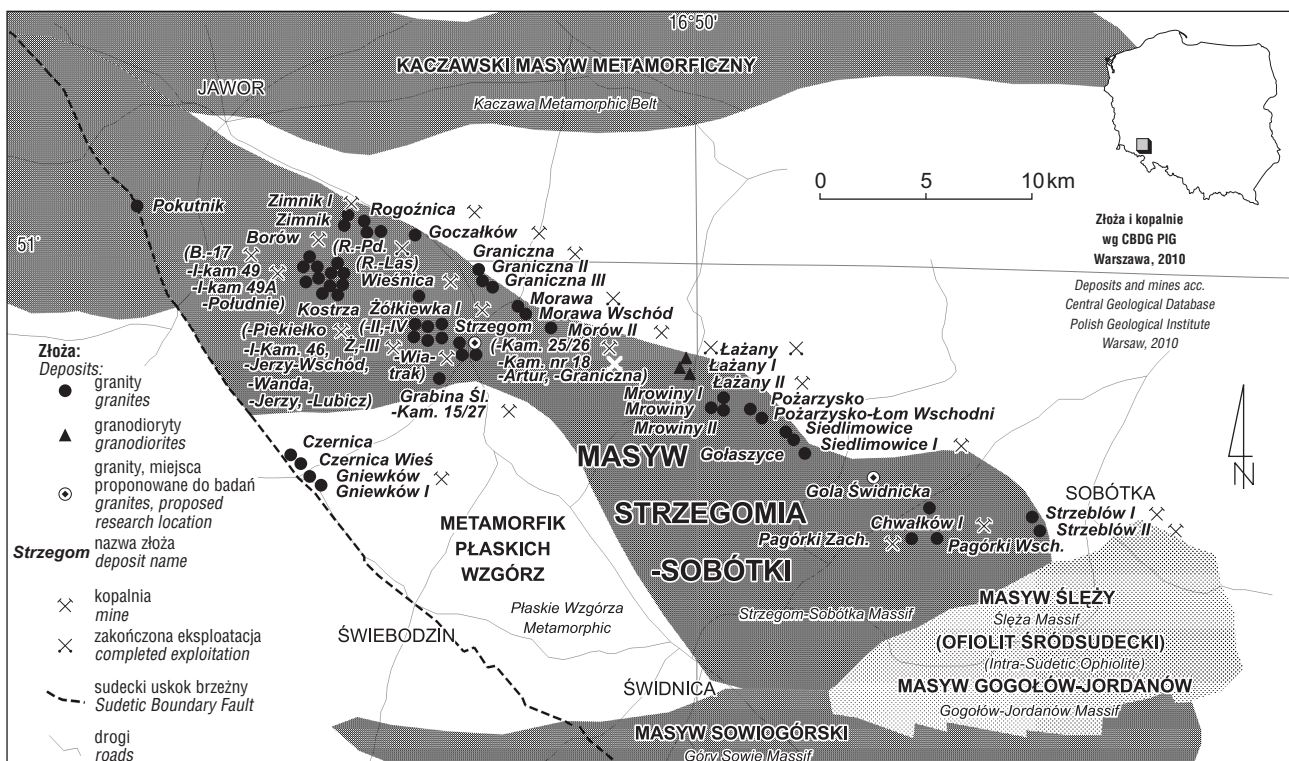
Miejscowość <i>Location</i>	Typ petrograficzny <i>Petrographic Type</i>	Ciężar właściwy <i>Specific weight</i> [G/cm <sup>3</sup> ]	Ciężar objętościowy <i>Volumetric weight</i> [G/cm <sup>3</sup> ]	Porowatość <i>Porosity</i> [%]	Zawartość koncentracji <i>Concentration</i> (M. Plewa 1988)			Ciepło radiogeniczne <i>Radio-genic heat</i> (S. Plewa 1994) [μW/m <sup>3</sup> ]
					U [ppm]	Th [ppm]	<sup>40</sup> K [%]	
MASYW STRZEGOM-SOBÓTKA <i>STRZEGOM-SOBÓTKA MASSIF</i> (Majerowicz, 1979)								
Strzeblów	granodioryt <i>granodiorite</i>	2,66	2,6	2,0				
Chwalków	granodioryt <i>granodiorite</i>	2,66	2,63	1,2				
Mrowiny	granit monzonitowy <i>monzonite granite</i>	2,65	2,6	1,98				
Morów	granit monzonitowy <i>monzonite granite</i>	2,66	2,62	1,5				
Graniczna	granodioryt <i>granodiorite</i>	2,668	2,631	1,39				
Strzegom	granit monzonitowy <i>monzonite granite</i>	2,65	2,61	1,5	7,3	18,7	4,83	3,60
Kostrza	granit monzonitowy <i>monzonite granite</i>	2,67	2,64	1,1				
Borów	granit monzonitowy <i>monzonite granite</i>	2,68	2,63	1,87				
Zimnik	granit drobnoziarnisty <i>fine grained granite</i>	2,65	2,61	—				
Czernica	granit monzonitowy <i>monzonite granite</i>	2,65	2,61	1,51				
Imbramowice	granit <i>granite</i>				2,6	21,4	4,66	2,53
PLUTON KARKONOSZY <i>KARKONOSZE PLUTON</i> (Szałamała, 1979)								
Cieplice Śl.-Zdr. (Wzg. Strzeleckie)	granit gruboziarnisty <i>coarse grained granite</i>	2,65	2,61	1,51				
Janowice Wielkie	granit śr.-ziarnisty szaroróż. <i>medium grained granite,</i> <i>pink-gray colour</i>	2,67	2,61	2,5				
Janowice Wielkie	granit gruboziarnisty barwy szarej z różowymi skaleniami <i>coarse grained granite,</i> <i>gray color with pink feldspars</i>	2,66	2,6–2,61	1,85–1,88				
Jelenia Góra	granit gruboziarnisty szaroróż. <i>coarse grained granite,</i> <i>pink-gray color</i>	2,63	2,65	1,1				
Karpacz II	granit <i>granite</i>	2,65	2,61	1,51				
Karpniki	granit gruboziarnisty szaroróż. <i>coarse grained granite,</i> <i>pink-gray colour</i>	2,67	2,61	2,2				
Kowary	granit średnioziarnisty <i>medium grained granite</i>	2,65	2,6	1,8				
Kowary	granit gruboziarnisty <i>coarse grained granite</i>	—	2,65	—				
Michałowice	granit gruboziarnisty <i>coarse grained granite</i>	2,68	2,63	1,5				
Michałowice	granit średnioziarnisty <i>medium grained granite</i>		2,61–2,64					
Szklarska Poręba Hale	granit gruboziarnisty szaroróż. <i>coarse grained granite,</i> <i>pink-gray colour</i>	2,68	2,63	1,9	9,9 12,4	32 22	3,74 3,98	5,05 4,90
Wiciarka k. Szkl. Poręby	granit średnioziarnisty <i>medium grained granite</i>	2,62	2,61	0,34	7,1	34,7	3,56	4,55

autorów jej dopływ następuje z karbońskich granitów monzonitowych i granodiorytów pociętych żyłami lamprofirów i – jak wspomniano – silnie spękanych w strefie dużego nagromadzenia elementów tektoniki dysjunktywnej. Silna więź hydrauliczna łączy tam kilka współwystępujących

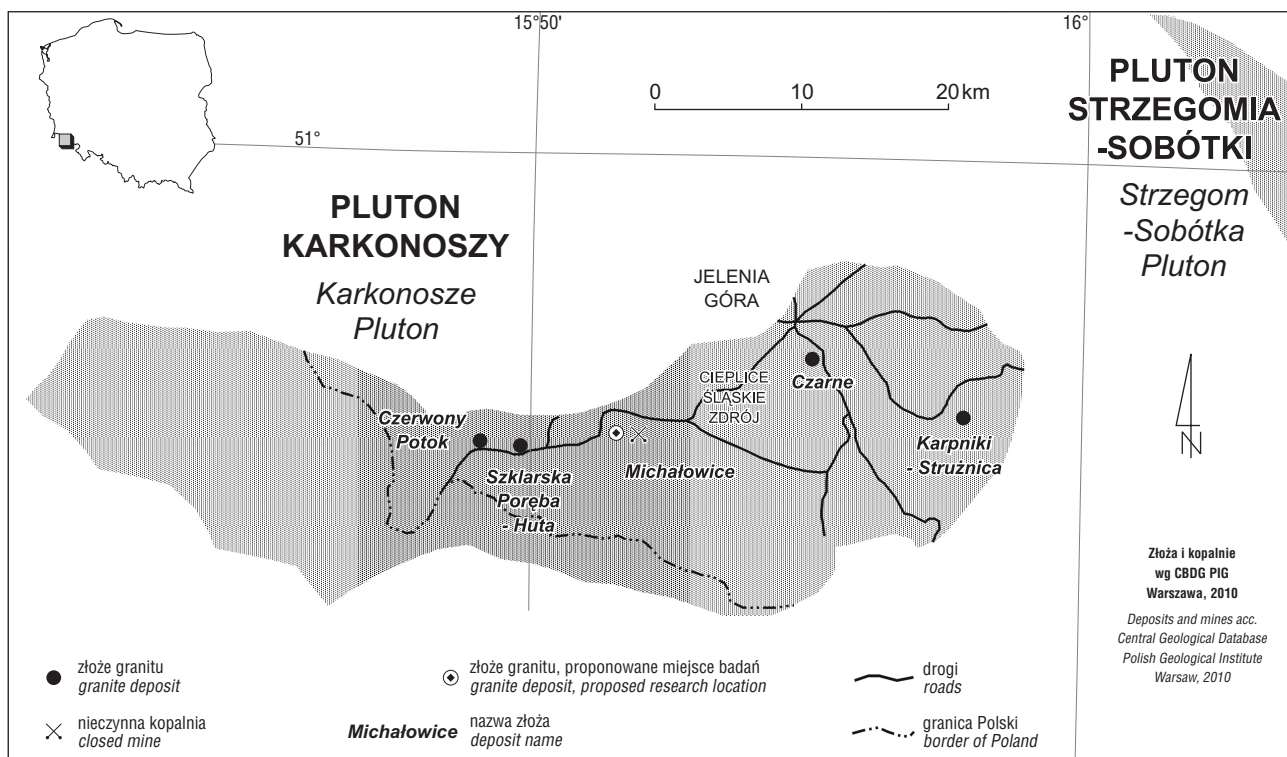
poziomów wodonośnych. Zdaniem Dowgiałły (1998) silne spękanie ułatwia intensywne krażenie tamtejszych wód do głębokości co najmniej 3 tys. m, a w związku z tym ich temperatura może przekraczać tam 130°C. Z opracowanego szkicu sudeckiego regionu geotermicznego wynika, że



Ryc. 1. Granite i granitoidy masywów sudeckich: strzelińskiego, Żulowej, Niemczy, kłodzko-złotostockiego i Kudowej  
Fig. 1. Granite and granitoid massifs of the Sudetes: Strzelin, Żulowa, Niemcza, Kłodzko-Złoty Stok and Kudowa



Ryc. 2. Granite i granitoidy masywu Strzegom-Sobótka  
Fig. 2. Granites and granitoids of the Strzegom-Sobótka Massif



Rys. 3. Granity plutonu Karkonoszy  
Fig. 3. Granites of the Karkonosze Pluton

gęstość ziemskiego strumienia cieplnego osiąga w Cieplicach wartość  $79 \text{ mW/m}^2$  (Dowgiałło, 2001). Także w kilku obszarach na wschód, północ i zachód od tej miejscowości występuje podwyższona temperatura wody w studniach kopanych i stosunkowo wysoki gradient geotermiczny w płytowych otworach wiertniczych (Dowgiałło & Fisteck, 2007).

## PODSUMOWANIE

Wybór plutonu Karkonoszy jako strefy optymalnej dla badań geotermalnych związanych z technologią HDR wynikał z:

- dużych rozmiarów, dobrego odsłonięcia i względnie małego zaangażowania tektonicznego;
- anomalnie wysokiej produkcji ciepła radiogenicznego.

Stwierdzono, że korzystne warunki do wykonania badawczego otworu wiertniczego o głębokości 200 m i przeprowadzenia w nim m.in. badań profilu cieplnego i petrograficznego przewiercanych skał dla potrzeb modelowania termicznego występują w rejonie nieczynnego kamieniołomu granitów karkonoskich w miejscowości Michałowice (między Cieplicami Śląskimi-Zdrojem a Szklarską Porębą). Kamieniołom znajduje się obecnie w obszarze zalesionym, poza siedliskami ludzi i zasięgiem ich działalności. Co prawda jest on zlokalizowany w obrębie niedawno utworzonych obszarów OSO i SOO systemu NATURA 2000, lecz znajdują się w nich także m.in. zabudowania pobliskich Michałowic. Miejsce to jest dodatkowo interesujące, gdyż jest usytuowane:

- w centralnej części plutonu Karkonoszy (w odniesieniu do jego całości, a także w obrębie jego polskiej części);

– około 4 km na zachód od udokumentowanej cieplickiej anomalii termicznej, w obszarze wyniesionym rzębowo w stosunku do Cieplic Śląskich-Zdroju;

– około 6–7 km na wschód od miejsc, w których w granitach stwierdzono wysoką produkcję ciepła radiogenicznego.

## LITERATURA

- Centralna Baza Danych Geologicznych PIG 2010 – PIG Warszawa.** [W:] <http://geoportal.pgi.gov.pl/portal/page/portal/cbdg> z 2010-03-13.
- DIENEMANN W. & BURRE O. 1929 – Die nutzbaren Gesteine Deutschlands und ihre Lagerstätten. Ferd. Enke Verl., Stuttgart.
- DOWGIAŁŁO J. 1998 – Geotermometryczne prognozy temperatury a wyniki poszukiwań wód termalnych w Jeleniej Górze-Cieplicach: 70–78. [W:] A.T. Jankowski, A. Kowalczyk, J. Kropka & A. Witkowski (red.) Hydrogeologia obszarów zurbanizowanych i uprzemysłowionych. Prace Naukowe Uniwersytetu Śląskiego w Katowicach, 1718, Tom poświęcony Jubileuszowi Prof. Andrzeja Różkowskiego. Wyd. Univ. Śl., Katowice.
- DOWGIAŁŁO J. 2001 – Sudecki region geotermalny (SRG) – określenie, podział, perspektywy poszukiwawcze. Współczesne problemy hydrogeologii, 10 (1): 301–308.
- DOWGIAŁŁO J. & FISTEK J. 2007 – Prowincja sudecka: 57–78. [W:] B. Paczyński & A. Sadurski (red.) Hydrogeologia regionalna Polski, t. II. Wody mineralne, lecznicze i termalne oraz kopalniane. Warszawa, PIG.
- DZIEDZICOWA H. 1979 – Granitoidy niemczańskie. [W:] K. Dziedzic, S. Kozłowski, A. Majerowicz & L. Sawicki (red.) Surowce mineralne Dolnego Śląska 1979. Inst. Nauk Geol. Univ. Wrocław. Inst. Geol. Wrocław-Warszawa. Wyd. PAN, Z-d Narodowy im. Ossolińskich, Wrocław-Warszawa-Kraków-Gdańsk.
- FISTEK J. & DOWGIAŁŁO J. 2003 – Wody termalne Cieplic Śląskich w świetle badań geologiczno-poszukiwawczych wykonanych w latach 1963–73 i 1997–98: 207–224. [W:] W. Ciężkowski, J. Wojewoda & A. Żelazniewicz (red.) Sudety zachodnie od wendu do czwartorzędu. Wrocław, Wyd. WIND.
- GORECKI W. 2006 – Opis zastosowań wód i energii geotermalnej: 36–37. [W:] W. Górecki (red., praca zbiorowa) Atlas zasobów geotermalnych formacji mezozoicznej na Niżu Polskim. Ministerstwo Środowiska.

- wiska, Narodowy Fundusz Ochrony Środowiska i Gospodarki Wodnej, Akademia Górniczo-Hutnicza w Krakowie – Zakład Surowców Energetycznych AGH, Państwowy Instytut Geologiczny w Warszawie. Kraków.
- JAROSIŃSKI M. & DĄBROWSKI M. 2004 – Jednowymiarowe modele reologiczne litosfery wzduż głębokich przekrojów sejsmicznych projektu POLONAISE'97, TTZ i LT. [W:] Budowa litosfery centralnej i północnej Polski (obszar projektu POLONAISE) na podstawie zintegrowanej analizy danych geofizycznych i geologicznych (proj. bad. nr 2.94.0004.00.0). [http://www.pgi.gov.pl/post\\_pol\\_UNpl.html](http://www.pgi.gov.pl/post_pol_UNpl.html).
- KŁECZEK A. 1963 – Właściwości techniczne granitów ze Strzelina, Mikoszowa (Dolny Śląsk). Spraw. z Pos. Kom. PAN. Oddz. w Krakowie, lipiec–grudzień 1962. s. 254.
- KULIKOWSKI W. & MIKULSKI J. 1968 – Monografia złóż materiałów kamiennych w Polsce i ich przydatność do celów drogowych. Okręgi Południowo-Zachodni i Północno-Centralny Polski. Wyd. Komun. i Łącz., Warszawa.
- MAJEROWICZ A. 1979 – Granity masywu Strzegom-Sobótka. [W:] K. Dziedzic, S. Kozłowski, A. Majerowicz & L. Sawicki (red.) Surowce mineralne Dolnego Śląska 1979. Inst. Nauk Geol. Uniwersyteckiego, Inst. Geol. Wrocław-Warszawa. Wyd. PAN, Z-d Narodowy im. Ossolińskich, Wrocław-Warszawa-Kraków-Gdańsk.
- MAZUR S. & JAROSIŃSKI M. 2004 – Budowa geologiczna głębokiego podłoża platformy paleozoicznej SW Polski w świetle wyników eksperymentu sejsmicznego POLONAISE'97. [W:] Budowa litosfery centralnej i północnej Polski (obszar projektu POLONAISE) na podstawie zintegrowanej analizy danych geofizycznych i geologicznych (projekt badawczy nr 2.94.0004.00.0). [http://www.pgi.gov.pl/post\\_pol\\_UNpl.html](http://www.pgi.gov.pl/post_pol_UNpl.html).
- MORAWSKI T. 1979 – Granity masywu Strzelin-Żulowa. [W:] K. Dziedzic, S. Kozłowski, A. Majerowicz & L. Sawicki (red.) Surowce mineralne Dolnego Śląska 1979. Inst. Nauk Geol. Uniwersyteckiego, Inst. Geol. Wrocław-Warszawa. Wyd. PAN, Z-d Narodowy im. Ossolińskich, Wrocław-Warszawa-Kraków-Gdańsk.
- PLEWA M. 1988 – Analiza zmian gęstości powierzchniowego strumienia cieplnego Ziemi na obszarze Polski. Zesz. Nauk. AGH, Geofiz. Stos., z. 1, Kraków.
- PLEWA S. 1994 – Rozkład parametrów geotermalnych na obszarze Polski. Wyd. CPPGSMiE PAN, Kraków.
- SZAŁAMACHA J. 1979 – Granity masywu Karkonoszy. [W:] K. Dziedzic, S. Kozłowski, A. Majerowicz & L. Sawicki (red.) Surowce mineralne Dolnego Śląska 1979. Inst. Nauk Geol. Uniwersyteckiego, Inst. Geol. Wrocław-Warszawa. Wyd. PAN, Z-d Narodowy im. Ossolińskich, Wrocław-Warszawa-Kraków-Gdańsk.
- TEISSEYRE H., SMULIKOWSKI K. & OBERC J. 1957 – Regionalna geologia Polski. T. III. Sudety, z. 1. Utwory przedtrzeciorzędowe. Pol. Tow. Geol., Kraków. s 300.
- WOJCIECHOWSKA I. 1979 – Granitoidy kłodzko-złotostockie. [W:] K. Dziedzic, S. Kozłowski, A. Majerowicz & L. Sawicki (red.) Surowce mineralne Dolnego Śląska 1979 – Inst. Nauk Geol. Uniwersyteckiego, Inst. Geol. Wrocław-Warszawa. Wyd. PAN, Z-d Narodowy im. Ossolińskich, Wrocław-Warszawa-Kraków-Gdańsk.

Praca wpłynęła do redakcji 13.12.2010 r.  
Po recenzji akceptowano do druku 16.03.2011 r.